

جغرافیا و توسعه شماره ۵۵ تابستان ۱۳۹۸

وصول مقاله: ۹۷/۰۲/۱۱

تأثیرگذاری: ۹۷/۰۷/۰۷

صفحات: ۱۹۳-۲۱۰

## برآورد ارتفاع برفمرز واحد ژئومورفیک ایران مرکزی

دکتر غلامحسن جعفری<sup>۱\*</sup>، نسرین حضوقی<sup>۲</sup>

### چکیده

در این مقاله سعی بر این است که ارتفاع برفمرز ایران مرکزی با روش‌های رایت، ارتفاع کف سیرک، نسبت پنجه به دیواره و نسبت‌های ارتفاعی برآورد شود و بهترین روش برای برآورد ارتفاع برفمرز دائمی معرفی شود. در بررسی اثرگذاری مقدار شیب دامنه‌های کوهستانی و حداکثر ارتفاع قلل بر ارتفاع برفمرز دائمی برآورده شده، روابط خطی این پارامترها در روش‌های مذکور در دامنه‌های نسار و نگار مرتتفع‌ترین قلل این واحد کوهستانی محاسبه شد. براساس فرم خطوط منحنی میزان در نقشه‌های توپوگرافی، بیش از ۳۳۰۰ سیرک در ایران مرکزی شناسایی شد. امتداد ناهمواری‌ها در بیشتر مناطق ایران مرکزی، شمال غربی-جنوب شرقی و گاهی به صورت غربی-شرقی است و بیشتر سیرک‌های یخچالی در دامنه‌های شمال شرق یا جنوب غرب شکل گرفته‌اند. نحوه پراکندگی سیرک‌ها حاکی از این است که دامنه‌های نسار (شمال شرقی) واحد ژئومورفیک ایران مرکزی شرایط بهتری برای شکل‌گیری سیرک‌های یخچالی داشته و ۵۷/۷ درصد از سیرک‌ها در دامنه شمال شرقی شناسایی شده‌است. تجزیه و تحلیل ارتفاع برفمرزهای برآورده شده در روش نسبت پنجه به دیواره با اعمال روش رایت، هم از نظر ارتفاع و هم از نظر اثر جهت بر تفاوت ارتفاع برفمرز با شرایط محیطی انطباق بیشتری دارد. ارتفاع برفمرز در این واحد بین ۲۷۴۳ متر تا ۳۰۹۸ متر متغیر برآورده شد. متوسط ارتفاع برفمرز کواترنری واحد ایران مرکزی ۲۸۵۳ متر بوده‌است. تجزیه و تحلیل اثر مقدار شیب و ارتفاع قلل بر تفاوت ارتفاع مرز حاکی از آن است که ۷۷ درصد از اثرگذاری مقدار شیب در دامنه نگار و ۳۵ درصد از اثرگذاری ارتفاع قله مسلط به سیرک در دامنه نسار قابل تبیین است. واژه‌های کلیدی: کواترنری، سیرک، برفمرز، نسبت پنجه به دیواره، ایران مرکزی.

شمال غرب سوئد به این نتیجه رسیدند که در طی ۲/۵ میلیون سال گذشته، یخچال به شکل‌های مختلف سیرکی، فلاتی و صفحه‌ای منطقه را تحت تأثیر قرار داده است. ژنگ و همکاران (۲۰۰۲) در بررسی وضعیت یخچال‌های فلات قوبنقاری- تیبتان دریافتند که در طی کواترنری، چهار دوره یخچالی وجود داشته که در حداقل دمای کواترنری، یخچال بیش از ۵۰۰۰۰ کیلومترمربع از فلات را تحت تأثیر قرار می‌داده است. هوقس و همکاران (۲۰۰۶) در بررسی یخچال‌های کواترنری کوههای مدیترانه، به این نتیجه رسیدند که طی ۱۲۰ هزار سال گذشته، نواحی کوهستانی تحت تأثیر سه دوره یخچالی قرار داشته‌اند. آن‌ها معتقدند که با توجه به عرض جغرافیایی منطقه، یخچال‌ها در برابر تغییرات اقلیمی بسیار حساس هستند و سریع واکنش نشان می‌دهند. دورتچ و همکاران (۲۰۱۰) ارتفاع برف‌مرز دائمی کواترنری دامنه‌های شمالی ارتفاعات لاداخ، واقع در شمال‌ترین قسمت هند را پایین‌تر از سایر دامنه‌ها برآورد کردند. روی و لاجنیت (۲۰۱۰) برف‌مرز دائمی یخچال‌های کواترنری را در دامنه‌های مختلف فلات یخچالی گواتمالای آمریکای مرکزی، در اقل کواترنری ۳۴۷۰ تا ۳۶۷۰ متر برآورد کردند که نسبت‌به ارتفاع برف‌مرز دائمی کنونی با توجه به خط هم‌دامای صفر درجه (ارتفاع ۴۸۴۰ متر) ۱۱۳۶ تا ۱۴۳۶ متر متفاوت است. سرلانو و همکاران (۲۰۱۳) ارتفاع برف‌مرز دائمی کوههای مرکزی کانتابریان شمال اسپانیا را به دو روش AAR و THRR بهترینب ۲۰۵۰ و ۲۱۳۰ متر برآورد کردند. اوانس و همکاران (۲۰۱۵) با استفاده از روش ارتفاع کف سیرک، برف‌مرز دائمی کواترنری کوههای آلپ در رومانی را بیش از ۱۰۰۰ متر پایین‌تر از شرایط کنونی برآورد کردند. یسیلیورت و همکاران (۲۰۱۶) ارتفاع برف‌مرز دائمی کواترنری کوههای شرقی ترکیه را با دو روش ارتفاع کف سیرک و نسبت‌های ارتفاعی، ۲۹۰۰ متر

## مقدمه

ارزیابی تغییرات اقلیمی کواترنری بهدلیل انعکاس بر روی سیستم‌های شکل‌زا و فرم‌های ایجادشده بر روی سطح زمین، همواره از بحث‌برانگیزترین و جذاب‌ترین موضوعاتی بوده که توجه ژئومورفولوژیست‌ها را به خود جلب کرده است (معیری و همکاران، ۱۳۹۷: ۱۱۳). در این دوره یخبندان‌های شدید و طولانی‌مدت اتفاق افتاده و یخچال‌هایی را در سراسر کره زمین بهویژه ارتفاعات بالا به وجود آورده است (شریفی و همکاران، ۱۳۹۵: ۱۱۱). ماهیت اکثر اشکال سطحی زمین را به شرایط آب و هوایی، بهویژه به تحولات شدید و متناوب اقلیمی در دوره کواترنری ارتباط می‌دهند (ابطحی، ۱۳۹۲: ۱۸۶). با این وجود موقعیت کنونی ایران و تسلط شرایط خشک و نیمه‌خشک، حاکمیت یخچال‌ها در ایران با شک و تردید همراه ساخته است؛ اما وجود آثار و شواهد ژئومورفولوژیکی یخچال‌ها در مناطق مختلف، حاکی از عملکرد یخچال‌ها در مناطق مختلف آن است (رامشت و همکاران، ۱۳۹۰: ۶۰). در این واحد ژئومورفیک علی‌رغم خشک‌بودن در یال‌های کوهستانی قلل مرتفعی همچون شیرکوه، هزار و لالهزار، الوند، سیرج، بل، شاهان کوه، کرکس ... آثاری وجود دارد که دال بر فعالیت یخچال‌های کواترنری در این منطقه است. بر این اساس در این پژوهش سعی بر آن است که با توجه به شواهد موجود در واحد ژئومورفیک ایران مرکزی، به کمک آثار باقی‌مانده از فرایندهای یخچال، ارتفاع برف‌مرز کواترنری برآورد شود.

## پیشینه تحقیق

پورتر (۱۹۸۹) معتقد داشت که در بررسی یخچال‌های کواترنری معمولاً محققان مرحله حداکثر گسترش یخچال را مدنظر قرار می‌دهند و آن را از طریق لندفرم‌هایی همچون سیرک‌ها، مورن‌ها، فیوردها و دیگر فرم‌های یخچالی دنبال می‌کنند. کلمن و استرون (۱۹۹۷) در بررسی ژئومورفولوژیکی

کواترنری داشته است. جعفریگلو و همکاران (۱۳۹۳) با بررسی آثار یخچالی کوهستان بیدخوان کرمان، وجود اشکال یخچالی مثل سیرک و دره‌های یخچالی را تأیید کردند. قهروودی‌تالی و همکاران (۱۳۹۴) ارتفاع برفمرز حوضه دالاخانی کرمانشاه را در آخرین دوره یخچالی ۲۸۲۰ متر برآورد کردند.

شمی‌پور و همکاران (۱۳۹۴) با بررسی شواهد یخچالی در قسمت‌هایی از زاگرس چین‌خورده، حاکمیت قلمروهای یخچالی و مجاور یخچالی را مورد تأیید قرار دادند. جعفری و همکاران (۱۳۹۴) با سه روش رایت، شبیج-جهت و ضریب خمیدگی به بازسازی ارتفاع برفمرز کواترنری الوند همدان پرداختند. نتیجه مطالعات آن‌ها، مناسب‌تر بودن دامنه‌های نسار را برای شکل‌گیری و فعالیت یخچالی کواترنری مورد تأیید قرار داده است. سیف و همکاران (۱۳۹۴) با بازسازی برفمرز پلیستوسن در سایت ریگ به این نتیجه رسیدند که هرچند این مناطق در شرایط کنونی امکان تشکیل یخچال را ندارند؛ ولی در گذشته لندرفم‌های متعددی، تحت تأثیر فرایندهای یخچالی شکل گرفته‌اند. قربانی شورستانی و همکاران (۱۳۹۵) با بررسی شواهد ژئومورفولوژیکی یخچالی کواترنری در ارتفاعات شمال شرق ایران (کوه بینالود) به این نتیجه رسیدند که سیرک‌های یخچالی کواترنری بین ۲۱۰۰ تا ۳۳۸۰ متری پراکنده شده و ارتفاع برفمرز بین ۲۳۵۰ تا ۲۵۰۰ متر قرار داشته است. خوش‌رفتار و همکاران (۱۳۹۵) با بررسی شواهد ژئومورفولوژیکی یخچال‌های کوهستانی در کوه شاه البرز با روش‌های تحریبی، وجود فرایند یخچال کواترنری را در دامنه شمالی آن که هم‌اکنون تحت تأثیر فرسایش آبی است، مورد تأیید قرار دادند. یافته‌های شریفی و همکاران (۱۳۹۵) در دشت ابراهیم‌آباد یزد حاکی از آن است که هرچند در حال حاضر آب‌وهوای غالب ایران مرکزی، گرم و خشک است؛ ولی وجود لندرفم‌های موجود در منطقه،

بالاتر از سطح دریا برآورد کردند که نسبت به ارتفاع برفمرز کنونی در حدود ۸۰۰ متر پایین‌تر بوده است. بروک و کیرکبرید (۲۰۱۸) در تحقیقی ارتفاع برفمرز دائمی ناحیه تاراروای ایسلند را برای شرایط کنونی ۱۲۰۰ متر برآورد کردند؛ در حالی که آن‌ها معتقدند در دوره کواترنری، این ارتفاع همسطح دریا و حتی پایین‌تر از آن بوده است. علاوه‌بر نامبردگان، محققانی همچون اسپوتیلا و همکاران (۲۰۰۴)، اویاسکین و همکاران (۲۰۰۵)، میشل و همکاران (۲۰۰۵)، اویانس و رد (۲۰۰۳)، ناپیرالسکی و همکاران (۲۰۰۷)، سریکایا و همکاران<sup>۱</sup> (۲۰۰۹)، سریکایا و همکاران (۲۰۱۱)، میندراسکو<sup>۲</sup> (۲۰۱۴)، بار<sup>۳</sup> و اسپاگنولو<sup>۴</sup> (۲۰۱۵) در ارتباط با فعالیت یخچال‌های کواترنری در نقاط مختلف جهان مطالعاتی انجام داده‌اند.

در طی چند دهه اخیر، مطالعات یخچال‌شناسی در ایران نیز توسط محققان زیادی موردنظر قرار گرفته است؛ از جمله: قهروودی‌تالی و همکاران (۱۳۹۲) با بررسی حوضه آبریز رودخانه زاب، ارتفاع برفمرز کواترنری را ۱۶۵۰ متر برآورد کردند و تأکید کردند که نهشته‌های تولیدشده در اثر فرسایش یخچالی، در دوره‌های بین یخچالی، دامنه‌های این حوضه را پوشانده است. سورور و مجتهدی (۱۳۹۰) در البرز غربی (کوه خشچال) مطالعاتی انجام دادند و شکل‌گیری یخچال توسط سه عامل زمین‌ساخت، ریخت‌شناسی و تغییرات آب‌وهوایی را در این منطقه تأیید کردند. پاریزی و همکاران (۱۳۹۲) به مطالعه شواهد یخچال‌های کواترنر پایانی در تنگوئیه سیرجان پرداختند. جعفری و اصغری سراسکانروودی (۱۳۹۳) آثار یخچالی کواترنری زنجان‌رود را مطالعه کردند و این موضوع را تأیید کردند که در نواحی کوهستانی با ارتفاع بیش از ۱۸۰۰ متری در منطقه موردمطالعه، شرایط مساعدی برای شکل‌گیری سیرک‌های یخچال

1-Sarıkaya

2-Mindrescu

3-Barr

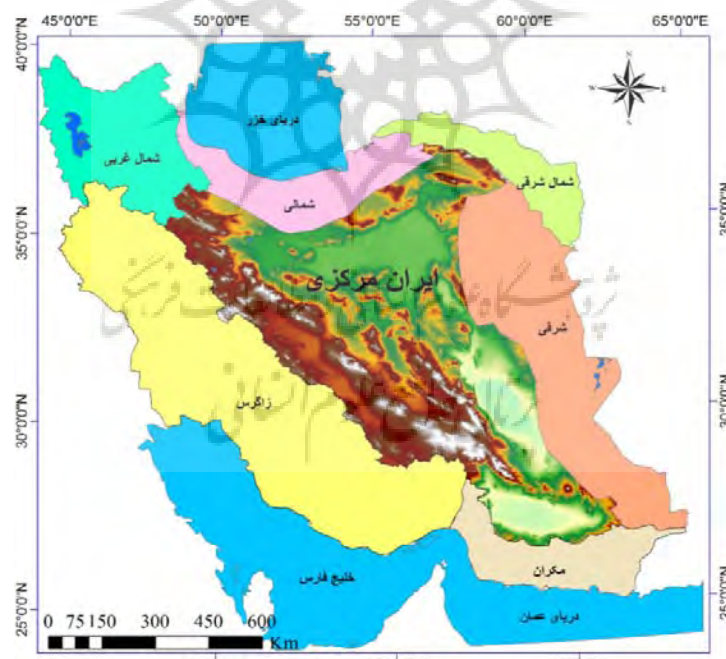
4-Spagnolo

مساحت ایران را شامل می‌شود که از شمال با رشته کوه البرز و از طرف غرب و جنوب غرب با کوههای زاگرس، از سمت جنوب و شرق به ترتیب با رشته کوههای مکران و شرقی محدود می‌شود (شکل ۱). وجود کوهستان‌های اطراف منطقه، امکان نفوذ توده هوای مرطوب را به ایران مرکزی محدود کرده است و باعث ایجاد شرایط خشک در اغلب مساحت منطقه می‌شود. این امر سبب کاهش نزولات جوی و افزایش دامنه تغییرات دما بین شب و روز و فصول گرم و سرد سال شده است. در ایران مرکزی دما از شمال غرب به جنوب شرق افزایش می‌یابد. ارتفاع نسبی منطقه کمتر است. تغییرات بارش در منطقه جهت‌گیری خاصی ندارد (امیدوار و جعفری ندوشن، ۱۳۹۶: ۲۲).

نشان‌دهنده آبوهای سردتر و مرطوب‌تر در گذشته است. شریفی پیچون و همکاران (۱۳۹۶) با بررسی شواهد ژئومورفولوژیکی شیرکوه بیزد، ارتفاع برف‌مرز گذشته را ۲۲۰۰ متر برآورد کردند. ملکی و همکاران (۱۳۹۷) ارتفاع برف‌مرز کواترنری را با استفاده از روش پورتر در ارتفاعات چهلچشم و سارال کردستان ۲۴۸۳ متر برآورد کردند که نسبت به البرز و زاگرس در ارتفاع پایین‌تری برآورد شده است.

#### منطقه مورد مطالعه

ایران مرکزی محدوده مثلثی‌شکلی است که در مختصات جغرافیایی ۵۱ تا ۵۸ درجه طول شرقی و ۲۹ تا ۳۴ درجه عرض شمالی قرار گرفته است و ۳۷۶/۶۴۲ کیلومتر مساحت دارد و ۲۳ درصد از



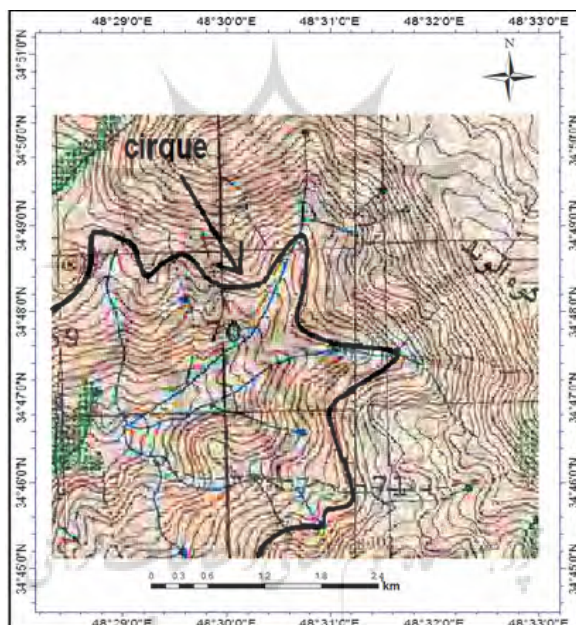
شکل ۱: موقعیت مکانی واحد ژئومورفیک ایران مرکزی

تهریه و ترسیم: نگارنده‌گان، ۱۳۹۷

منطقهٔ یخچالی، فرم پنجهای‌شکل را برای شناسایی سیرک‌ها به وجود آورده است. فرم منحنی میزان‌ها در چنین مناطقی به شکل آبسخورمانند یا U است که در اثر تجمع یخچال در طی زمان به وجود آمده است. اگر چنین فرم‌هایی از ارتفاع بیش از ۲۵۰۰ متری در زاگرس یا ایران مرکزی یافت شوند، بدون تردید می‌توان آن‌ها را به فرایندهای یخچالی نسبت داد (رامشت، ۱۳۹۴: ۶۸) (شکل ۲).

## مواد و روش‌ها

در برآورد ارتفاع برفمرز کواترنری، قدم اول، شناسایی سیرک‌های یخچالی به عنوان مهم‌ترین شاهد فرایند یخچالی است. برای ردیابی سیرک‌های منطقه از نقشه‌های توپوگرافی ۱:۵۰۰۰۰، لایه خطوط منحنی میزان، مدل ارتفاعی رقومی ۳۰\*۳۰ و نرم‌افزارهای Global Mapper، GIS استفاده شد. نقشه‌های توپوگرافی، عوارض و ناهمواری‌ها را با خطوط منحنی تراز به‌وضوح نشان می‌دهند. این خطوط تراز در



شکل ۲: انعکاس سیرک یخچالی در خطوط منحنی تراز الوند

تهریه و ترسیم: نگارندگان، ۱۳۹۷

گرفته شد. با توجه به امتداد ناهمواری‌های واحد ایران مرکزی (شمال‌غربی - جنوب‌شرقی) و اثر دامنه‌ها در شکل‌گیری سیرک، ارتفاع برفمرز در دامنه‌های شمال شرقی و جنوب غربی این واحد برآورد شد. در برخی نواحی مثل حوضهٔ کویر درانجیر، امتداد ناهمواری‌ها غربی- شرقی است. ارتفاع برفمرز کواترنری برای دامنه‌های شمالی و جنوبی برآورد شد.

بررسی ارتفاع برفمرز واحد برای منطقه‌ای که امتداد ناهمواری‌های آن باعث شکل‌گیری یخچال در دامنه‌های متفاوت می‌شود، خالی از اشکال نیست؛ به همین دلیل، ابتدا ارتفاع برفمرز در حوضه‌های آبریز واحد ژئومورفیک ایران مرکزی برآورد شد. جهت کلی سیرک‌های شناسایی شده باتوجه به امتداد ناهمواری‌ها مشخص شد؛ در واقع امتداد خط‌الرأس اصلی هر حوضه، تعیین‌کنندهٔ جهت تشکیل سیرک در نظر

که  $Mo = L + \frac{d_1}{d_1 + d_2} \times h$ : ارتفاع کف سیرک،  $L$ : حد پایین طبقه نمادار،  $d_1$ : تفاضل فراوانی طبقه مقابل طبقه نمادار از فراوانی طبقه نمادار،  $d_2$ : تفاضل فراوانی طبقه مابعد طبقه نمادار از فراوانی طبقه نمادار و  $h$ : اختلاف ارتفاع طبقه نمادار است (قریب‌تری شورستانی و همکاران، ۱۳۹۵: ۴).

روش نسبت پنجه به دیواره: با استفاده از روش نسبت پنجه به دیواره، ارتفاع خط تعادل (ELA) و THAR<sup>۱</sup> به دست می‌آید. با روش THAR بهترین نتیجه برای یخچال‌های کوچک و متقارن با توزیع نرمال پهنه‌ها و ارتفاعات به دست می‌آید. با توجه به اینکه روش‌های محاسبه دیرینه ELA بر مبنای داده‌های تجربی و فرضیه‌های نظری هستند، در محاسبه ELA با دامنه‌ای از خطاهای عدم قطعیت‌ها روبرو هستند (یمانی و همکاران، ۱۳۹۲: ۷؛ به نقل از ژو و همکاران، ۲۰۱۰). نسبت THAR بین ۰ تا ۱ است. برای شناسایی سیرک‌ها نیز از این روش استفاده می‌شود و اگر نسبت THAR کمتر از ۰/۴۶ یا بزرگ‌تر از ۰/۸۶ باشد، شکل شناسایی‌شده، سیرک محسوب نمی‌شود (رابطه ۴).

رابطه ۴:  $THAR = (ELA - AT) / (AH - AT)$

که ELA: ارتفاع خط تعادل، AH: ارتفاع سر یخچال، AT: ارتفاع پایه یخچال است (Porter, 2000: 1069).

روش نسبت‌های ارتفاعی: در این روش، از راه میانگین محدوده ارتفاعی پایانه زبانه یخچالی و بلندترین ستیغ حوضه یا منطقه مورد نظر، ارتفاع برف‌مرز مشخص می‌شود (رابطه ۵).

رابطه ۵:  $AR = \frac{Ah + At}{2}$

که AR: ارتفاع برف‌مرز، Ah: بالاترین ارتفاع قلمرو یخچالی و At: پایین‌ترین ارتفاع قلمرو یخچالی است (شریفی و همکاران، ۱۳۹۵: ۱۱۶).

در قدم بعدی، با استفاده از نقشه زمین‌شناسی ۱:۱۰۰۰۰ ایران، شرایط لیتوژئیکی مکان سیرک‌ها بررسی شد و اطلاعات سیرک‌های شناسایی‌شده در رسوبات دیاژنز نشده آبرفتی یا رسوبات حساس به فرسایش مثل مارن و رس، از داده‌های قبلی خارج شد. برای همه سیرک‌های شناسایی‌شده، نیمرخ طولی ترسیم شد و با توجه به روش نسبت پنجه به دیواره، از اطلاعات آن دسته از سیرک‌هایی که نیمرخ طولی مقعری نداشتند، در برآورد ارتفاع برف‌مرز دائمی استفاده نشد. ارتفاع برف‌مرز کواترنری، به روش‌های مختلف برآورد شد که در زیر به شرح آن‌ها پرداخته می‌شود:

روش رایت: در روش رایت با تعیین مکان سیرک‌ها و گذراندن خط ۶۰ درصد از آن، برف‌مرز دائمی تعیین می‌شود (انتظاری و همکاران، ۱۳۹۴: ۱۷۲). در این روش بر روی سیرک‌های شناسایی‌شده، روابط (۱) و (۲) اعمال شد:

$$R = n \times 0/60 \quad \text{رابطه ۱:}$$

$X = (H_{\max} - H_{\min}) / 100 * 60 \quad R = H_{\min} + X \quad \text{رابطه ۲:}$

در روابط مذکور،  $n$ : فراوانی کل سیرک‌ها در حوضه موردنظر،  $X$ : تفاوت ارتفاع برف‌مرز دائمی از ارتفاع پایین‌ترین سیرک،  $H_{\max}$ : بالاترین ارتفاع سیرک،  $H_{\min}$ : پایین‌ترین ارتفاع سیرک و  $R$ : ارتفاع برف‌مرز است (قهره‌ودی‌تالی و حسنی قارنایی، ۱۳۹۴: ۳۲۷).

روش ارتفاع کف سیرک پورتر: از نظر پورتر، یخچال زمانی سیرک را پر می‌کند که خط برف‌مرز خیلی بالاتر از میانگین ارتفاع کف سیرک نباشد. این روش برای به دست آوردن ارتفاع خط تعادل‌های یخچالی گذشته است. در روش پورتر از رابطه (۳) استفاده می‌شود که به کمک آن نما و مد محاسبه می‌شود.

$$Mo = L + \frac{d_1}{d_1 + d_2} \times h \quad \text{رابطه ۳:}$$

و شواهد یخچالی در این منطقه دال بر وجود آبوهوای سرد و مرطوب در گذشته است. حوضه‌های آبریز دریاچه نمک، گاوخونی، ابرقو- سیرجان، کویر سیاه‌کوه، کویر درانجیر و کویر لوت از جمله حوضه‌هایی هستند که در واحد ژئومورفیک ایران مرکزی واقع شده‌اند. از میان این حوضه‌های آبریز فقط امتداد ناهمواری‌های کویر درانجیر به صورت غربی-شرقی است و سیرک‌های آن درجهت شمال و جنوب شکل گرفته‌اند. امتداد ناهمواری‌ها در سایر حوضه‌ها شمال غربی- جنوب شرقی است و سیرک‌ها در دامنه‌های شمال شرقی و جنوب غربی شکل گرفته‌اند. تعداد ۳۳۰۵ سیرک در این واحد شناسایی شد که با حذف اشکال شبه سیرک، ۲۵۰۸ سیرک باقی ماند. ۵۷/۷ درصد از سیرک‌ها در دامنه‌های نسار و ۴۲/۲۲ درصد آن‌ها در دامنه‌های نگار قرار گرفته‌اند (جدول ۱)، (شکل ۳).

از بین روش‌های مختلف اعمال شده در برآورد ارتفاع برفمرز، بهترین روش، انتخاب و ارتفاع برفمرز زیرحوضه‌های واحد و خود واحد ژئومورفیک ایران مرکزی مشخص شد. برای تجزیه و تحلیل اثرگذاری مقدار شیب و ارتفاع بر ارتفاع برفمرز دائمی قلل مرتفع ایران مرکزی، از روابط خطی استفاده شد. رابطه خطی به صورت  $y = bx + a$  است. a: عرض از مبدأ، نقطه آغاز ارتباط بین دو متغیر را نشان می‌دهد. b: شیب خط حاصل از معادله. به طور ساده این مقدار گویای میزان تغییر در متغیر y به ازای یک واحد تغییر در X است. شیب مثبت نشان دهنده رابطه مستقیم دو متغیر است (عساکری، ۱۳۹۰: ۲۱۹).

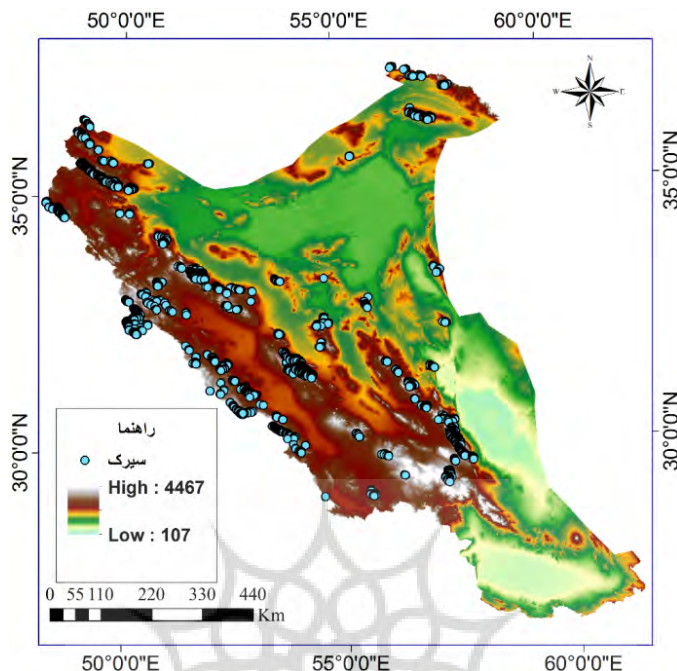
### یافته‌های پژوهش

واحد ژئومورفیک ایران مرکزی در قسمت‌های مرکزی ایران قرار گرفته است که امروزه دارای آبوهوای خشک یا بسیار خشک است؛ ولی وجود آثار

جدول ۱: فراوانی سیرک‌های شناسایی شده در واحد ژئومورفیک ایران مرکزی

| درصد فراوانی | فراوانی سیرک پس از حذف<br>شیه‌سیرک | فراوانی کل سیرک | جهت      | حوضه آبریز    |
|--------------|------------------------------------|-----------------|----------|---------------|
| ۲۶/۲         | ۶۰۷                                | ۶۱۰             | شمال شرق | دریاچه نمک    |
| ۱۷/۰۲        | ۴۲۷                                | ۴۲۸             | جنوب غرب |               |
| ۱۰/۷۶        | ۲۷۰                                | ۳۵۰             | شمال     | درانجیر       |
| ۶/۶۱         | ۱۶۶                                | ۲۵۰             | جنوب     |               |
| ۶/۴۹         | ۱۶۳                                | ۱۶۳             | شمال شرق | گاوخونی       |
| ۵/۹۸         | ۱۵۰                                | ۱۵۶             | جنوب غرب |               |
| ۴/۴۶         | ۱۱۲                                | ۱۸۰             | شمال شرق | کویر لوت      |
| ۴/۲۲         | ۱۰۶                                | ۱۲۴             | جنوب غرب |               |
| ۱۱/۸۴        | ۲۹۷                                | ۵۳۵             | شمال شرق | کویر سیاه‌کوه |
| ۴/۴۶         | ۱۱۲                                | ۱۸۸             | جنوب غرب |               |
| ۳/۹          | ۹۸                                 | ۱۴۸             | جنوب غرب | ابرقو- سیرجان |

مأخذ: محاسبات نگارندگان، ۱۳۹۷



شکل ۳: موقعیت سیرک‌های شناسایی شده در منطقه

تهریه و ترسیم: نگارندگان، ۱۳۹۷

دلیلی بر شبهمیرک بودنشان است نیز استفاده نشد. مقایسه این دو مرحله، نشان‌دهنده افزایش ارتفاع برف‌مرز برآورده در مرحله دوم برای همه حوضه‌ها است؛ به طوری که در حوضه کویر لوت با حذف شبهمیرک‌ها، ارتفاع برف‌مرز برآوردهش نزدیک به ۵۰۰ متر مرتفع‌تر برآورد شد (جدول ۲).

(ب) این مرحله حاصل تفریق حداقل ارتفاع بر عدد ۱۰۰ تقسیم و عدد برآورده در عدد ۶۰ ضرب شد. از جمع عدد به دست آمده از این رابطه با کمترین ارتفاع سیرک شناسایی شده، ارتفاع برف‌مرز محاسبه می‌شود (رابطه ۲). در این مرحله نیز ارتفاع برف‌مرز در مقایسه با رابطه (۱) افزایش داشته است و بیشترین افزایش مربوط به حوضه آبریز کویر لوت ۴۵۴ متر است (جدول ۳).

### روش رایت

(الف) بعد از شناسایی آثار سیرکی به کمک نقشه‌های توپوگرافی و تصاویر ماهواره‌ای، برآورد برف‌مرز با روش رایت (رابطه ۱) در دو مرحله متفاوت انجام شد. در مرحله اول ارتفاع برف‌مرز از ضرب تعداد کل سیرک‌های هریک از حوضه‌های آبریز در عدد ۰/۶ یا ۶ درصد برآورد شد. مرحله دوم، همانند مرحله اول عمل شد؛ ولی از داده‌های آن دسته از سیرک‌هایی که در رسوبات دیاژنز نشده مثل کنگلومرا و سست قرار داشت، در برآورد ارتفاع برف‌مرز استفاده نشد. آثار سیرکی در این سنگ‌ها، شبهمیرک‌هایی هستند که بعد از عقب‌نشینی یخچال‌ها و در شرایط کنونی بر اثر عوامل فرسایشی شکل گرفته‌اند و نمی‌توان تشکیل آن‌ها را به کواترنری نسبت داد. همچنین از داده‌های ارتفاعی سیرک‌هایی که پروفیل‌های ترسیم شده آن‌ها

جدول ۲: ارتفاع برفمرز به روش رایت (رابطه ۱)

| تفاوت ارتفاعی | رابطه ۱<br>(بعد از حذف سیرک) | رابطه ۱<br>(قبل از حذف سیرک) | حوضه آبریز   |
|---------------|------------------------------|------------------------------|--------------|
| ۱۲۹           | ۲۷۶۸                         | ۲۶۳۹                         | گاوخونی      |
| ۴۷۹           | ۲۹۹۴                         | ۲۵۱۵                         | کویر لوت     |
| ۴۶۳           | ۳۱۲۶                         | ۲۶۶۳                         | کویر درانجیر |
| ۳۲۶           | ۲۷۳۰                         | ۲۴۰۴                         | کویر سیاهکوه |
| ۲۵۶           | ۲۸۳۷                         | ۲۵۸۱                         | ابرقو-سیرجان |
| ۳۷۵           | ۲۸۱۲                         | ۲۴۳۷                         | دریاچه نمک   |

مأخذ: محاسبات نگارندگان، ۱۳۹۷

جدول ۳: ارتفاع برفمرز به روش رایت (رابطه ۲)

| تفاوت ارتفاعی | رابطه ۲ | رابطه ۱ | حوضه آبریز   |
|---------------|---------|---------|--------------|
| ۲۶۴           | ۳۰۳۲    | ۲۷۶۸    | گاوخونی      |
| ۴۵۴           | ۳۴۴۸    | ۲۹۹۴    | کویر لوت     |
| ۲۸۱           | ۳۴۰۷    | ۳۱۲۶    | کویر درانجیر |
| ۳۱۵           | ۳۰۴۵    | ۲۷۳۰    | کویر سیاهکوه |
| ۱۰۸           | ۲۹۴۵    | ۲۸۳۷    | ابرقو-سیرجان |
| ۲۳۴           | ۳۰۴۶    | ۲۸۱۲    | دریاچه نمک   |

مأخذ: محاسبات نگارندگان، ۱۳۹۷

پایین‌تری نسبت به دامنه نگار (جنوب غرب) داشته باشد و چون در حوضه‌های آبریز کویر درانجیر خلاف این بود و برای دامنه نسار ارتفاع برفمرز بالاتری برآورد شد، از این مرحله نمی‌توان در برآورد ارتفاع برفمرز آن استفاده کرد (جدول ۴).

ج) در این مرحله همان مرحله قبلی تکرار شد، منتهی اعمال مرحله قبلی پس از تفکیک سیرک‌های شناسایی شده در جهات جغرافیایی منطقه (شمال شرق و جنوب غرب حوضه‌های آبریز) انجام شد. معمولاً دامنه نسار (شمال شرق) باید ارتفاع برفمرز

جدول ۴: ارتفاع برفمرز به روش رایت (رابطه ۲) در جهات مختلف

| اختلاف | اختلاف | جنوب غرب | جنوب | شمال | شمال | حوضه آبریز   |
|--------|--------|----------|------|------|------|--------------|
| ۲۰۴    | ۳۱۰۸   | ۲۹۰۴     | -    | -    | -    | گاوخونی      |
| ۸۲     | ۳۵۳۰   | ۳۴۴۸     | -    | -    | -    | کویر لوت     |
| -۳۵۰   | -      | -        | ۳۰۹۹ | ۳۴۴۹ | -    | کویر درانجیر |
| ۱۶۵    | ۳۰۵۶   | ۲۸۹۱     | -    | -    | -    | کویر سیاهکوه |
| -      | ۳۱۶۷   | -        | -    | -    | -    | ابرقو-سیرجان |
| ۴۴۹    | ۳۳۳۶   | ۲۸۳۷     | -    | -    | -    | دریاچه نمک   |

مأخذ: محاسبات نگارندگان، ۱۳۹۷

هر طبقه مشخص شد. ارتفاع برفمرز دائمی کواترنری در طبقه‌ای قرار دارد که سیرک‌ها بیشترین فراوانی را دارد. با مشخص کردن طبقه نمادار، مطابق با رابطه (۳)

روش ارتفاع کف سیرک پورتر در این روش ابتدا سیرک‌ها از نظر ارتفاعی با فاصله ۱۰۰ متر طبقه‌بندی شد و فراوانی نسبی سیرک در

تفاوت ارتفاع برفمرز در جهات مختلف در حوضه آبریز کویر سیاهکوه ۵۱۲ متر برآورد شد (جدول ۵).

عمل شد. در این مرحله نیز حوضه کویر درانجیر به دلیل تفاوت منفی بین دامنه نگار و نسار از محاسبه خارج شد. در بین حوضه‌های باقی‌مانده بیشترین

جدول ۵: ارتفاع برفمرز به روش ارتفاع کف سیرک

| اختلاف | جنوب غرب | شمال شرق | جنوب | شمال | حوضه آبریز   |
|--------|----------|----------|------|------|--------------|
| ۱۶     | ۲۷۶۶     | ۲۷۵۰     | -    | -    | گاوخونی      |
| ۲۶     | ۲۹۶۶     | ۲۹۴۰     | -    | -    | کویر لوت     |
| -۱۲۵   | -        | -        | ۳۰۳۳ | ۳۱۵۸ | کویر درانجیر |
| ۵۱۲    | ۳۰۶۲     | ۲۵۵۰     | -    | -    | کویر سیاهکوه |
| -      | ۳۰۰۶     | -        | -    | -    | ابرقو-سیرجان |
| ۳۳     | ۲۷۶۶     | ۲۷۳۳     | -    | -    | دریاچه نمک   |

مأخذ: محاسبات نگارندگان، ۱۳۹۷

ارتفاع پروفیل تقسیم شد. نسبت به دست‌آمده بین ۰ تا ۱ متغیر است. سیرک‌هایی که نسبت به دست‌آمده برای آن‌ها پایین‌تر از ۰/۴۶ یا بالاتر از ۰/۸۶ است، سیرک محسوب نمی‌شوند و در برآورد ارتفاع برفمرز مدنظر قرار نمی‌گیرند (پورتر، ۲۰۰۰). سپس ارتفاع برفمرز سیرک‌های باقی‌مانده طبق روش رایت محاسبه شد. کویر لوت بیشترین تفاوت ارتفاع برفمرز را در جهات مختلف داشته است (جدول ۶).

#### روش نسبت پنجه به دیواره

(الف) در این مرحله از اطلاعات نیمرخ‌های ترسیم شده در مرحله قبل، ارتفاع کف سیرک، ارتفاع پایین‌ترین و بالاترین قسمت پروفیل استخراج شد. پس از برداشت اطلاعات لازم، نسبت THAR برای هر کدام از سیرک‌ها محاسبه شد؛ به این صورت که ارتفاع پایین‌ترین قسمت پروفیل از ارتفاع کف سیرک کسر شد و عدد به دست‌آمده بر تفاوت بین حداقل ارتفاع و حداقل

جدول ۶: ارتفاع برفمرز به روش نسبت پنجه به دیواره (با اعمال روش رایت)

| اختلاف | جنوب غرب | شمال شرق | جنوب | شمال | حوضه آبریز   |
|--------|----------|----------|------|------|--------------|
| -۵۹    | ۲۷۷۲     | ۲۸۳۱     | -    | -    | گاوخونی      |
| ۵۶۷    | ۳۰۸۰     | ۲۵۱۳     | -    | -    | کویر لوت     |
| ۳۲۶    | -        | -        | ۲۹۳۶ | ۳۲۶۱ | کویر درانجیر |
| ۱۱۵    | ۲۸۶۵     | ۲۷۵۰     | -    | -    | کویر سیاهکوه |
| -      | ۳۰۴۲     | -        | -    | -    | ابرقو-سیرجان |
| ۴۸۳    | ۳۰۵۶     | ۲۵۷۳     | -    | -    | دریاچه نمک   |

مأخذ: محاسبات نگارندگان، ۱۳۹۷

منفی بین دامنه نگار و نسار حوضه آبریز کویر لوت و کویر سیاهکوه، نمی‌توان از این روش ارتفاع برفمرز آن‌ها را برآورد کرد. حوضه آبریز دریاچه نمک بیشترین تفاوت را دارد (۵۸۷ متر) (جدول ۷).

(ب) تفاوت این مرحله با مرحله قبلی در این است که در این مرحله پس از جدا کردن اطلاعات شبکه‌سیرک‌ها، برای برآورد ارتفاع برفمرز همانند روش ارتفاع کف سیرک پورتر عمل شد. به دلیل تفاوت

جدول ۷: ارتفاع برفمرز به روش نسبت پنجه به دیواره (با اعمال روش پورتر)

| حوضه آبریز    | شمال | جنوب | شمال شرق | جنوب غرب | اختلاف |
|---------------|------|------|----------|----------|--------|
| گاوخونی       | -    | -    | ۲۸۰۰     | ۲۸۶۶     | ۶۶     |
| کویر لوت      | -    | -    | ۳۰۰۶     | ۲۹۳۳     | -۷۳    |
| کویر درانجیر  | ۳۱۵۰ | -    | -        | -        | ۳۶     |
| کویر سیاه کوه | -    | -    | ۲۷۵۴     | ۲۷۳۳     | -۱۹    |
| ابرقو- سیرجان | -    | -    | -        | ۳۰۸۰     | -      |
| دریاچه نمک    | -    | -    | ۲۴۵۰     | ۳۰۳۷     | ۵۸۷    |

مأخذ: محاسبات نگارندگان، ۱۳۹۷

این روش نسبت به سایر روش‌ها نتایج بهتری را از خود نشان داد. حوضه آبریز دریاچه نمک بیشترین تفاوت (۶۵۷ متر) و گاوخونی کمترین تفاوت (۱۳۳ متر) را به خود اختصاص داده است (جدول ۸).

#### روش نسبت‌های ارتفاعی

در این روش پایین‌ترین ارتفاع با بالاترین ارتفاع پروفیل ترسیمی جمع و بر ۲ تقسیم شد. برای به دست آوردن برفمرز از میانگین و مد استفاده شد.

جدول ۸: ارتفاع برفمرز به روش نسبت‌های ارتفاعی

| حوضه آبریز    | شمال | جنوب | شمال شرق | جنوب غرب | اختلاف |
|---------------|------|------|----------|----------|--------|
| گاوخونی       | -    | -    | ۲۸۶۷     | ۲۷۴۳     | ۱۳۳    |
| کویر لوت      | -    | -    | ۲۸۶۷     | ۳۱۳۳     | ۲۶۶    |
| کویر درانجیر  | ۳۱۳۰ | -    | -        | -        | ۲۸۰    |
| کویر سیاه کوه | -    | -    | ۲۸۵۰     | ۳۰۷۱     | -۳۲۱   |
| ابرقو- سیرجان | -    | -    | -        | ۳۱۸۰     | -      |
| دریاچه نمک    | -    | -    | ۲۴۱۰     | ۳۰۶۷     | ۶۵۷    |

مأخذ: محاسبات نگارندگان، ۱۳۹۷

جنوبی‌ترین حوضه (کویر درانجیر) و شمالی‌ترین حوضه (دریاچه نمک) حدود ۳۵۵ متر اختلاف ارتفاع برفمرز وجود داشته است. علاوه بر برآورد ارتفاع برفمرز، حدود پیشروی فعالیت یخچال‌ها با توجه به ارتفاع پایین‌ترین سیرک شناسایی شده (جدول ۹) مشخص شد. برای نمایش مناطقی از ایران مرکزی که در طی کواترنری تحت تأثیر فرایند یخچالی بودند، با درنظر گرفتن ارتفاع برفمرز براساس روش نهایی و ارتفاع برفمرز پایین‌ترین سیرک شناسایی شده، نقشه منطقه تحت حاکمیت فرایند یخچالی ایران مرکزی ترسیم شد. مساحت واحد ایران مرکزی  $۳۷۶/۶۴۲$  کیلومترمربع است که  $۱/۱۹$  درصد آن بالاتر از ارتفاع

مناطق تحت حاکمیت فرایند یخچالی ایران مرکزی براساس نتایج برفمرز به دست آمده به روش‌های مختلف، روش نسبت پنجه به دیواره با اعمال روش رایت (حوضه‌های کویر لوت، کویر درانجیر، ابرقو- سیرجان، دریاچه نمک)، روش نسبت پنجه به دیواره با اعمال روش پورتر (حوضه گاوخونی)، روش ارتفاع کف سیرک (حوضه کویر سیاه کوه)، هم از نظر ارتفاع برفمرز و هم از نظر اختلاف ارتفاع برفمرز در دامنه‌های مختلف مناسب‌تر شناخته شدند. نگاهی به نتایج به دست آمده برای ارتفاع برفمرز دائمی کاملاً بیان‌کننده این مطلب است که ارتفاع برفمرز از جنوب به شمال کاهش یافته است؛ به طوری که بین

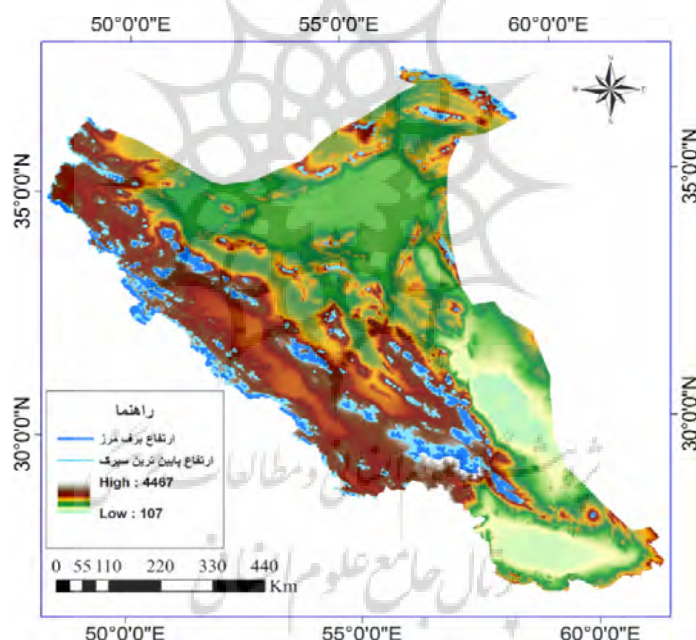
توجه به ارتفاع پایین‌ترین سیرک شناسایی شده، ۴/۳۲ درصد از مساحت این واحد را دربر می‌گیرد (شکل ۴).

برفمرز قرار داشته و تحت تأثیر فرایند یخچالی بوده است. منطقه تحت حاکمیت سیستم یخچالی با

جدول ۶: ارتفاع برفمرز نهایی و ارتفاع پایین‌ترین سیرک شناسایی شده

| ارتفاع برفمرز براساس ارتفاع پایین‌ترین سیرک | ارتفاع برفمرز | حوضه آبریز    |
|---|---------------|---------------|
| ۲۵۲۰  | ۲۸۳۳          | گاوخونی       |
| ۲۵۰۶  | ۲۷۹۶/۵        | کویر لوت      |
| ۲۵۱۲  | ۳۰۹۸/۵        | کویر درانجیر  |
| ۲۵۷۴  | ۲۸۰۶          | کویر سیاه کوه |
| ۲۵۱۳  | ۲۸۷۳/۵        | ابرقو-سیرجان  |
| ۲۱۶۷  | ۲۷۴۳/۵        | دریاچه نمک    |

مأخذ: محاسبات نگارندگان، ۱۳۹۷



شکل ۴: مناطق تحت تأثیر فرایند یخچالی

تهریه و ترسیم: نگارندگان، ۱۳۹۷

ارتفاع برفمرز برآورده بسیار کم بود، در برآورد ارتفاع برفمرز نهایی استفاده نشد. با کنارگذاشتن روش‌های نامناسب، میانگین ارتفاع برفمرز برآورده شد. قله شاه با ارتفاع ۴۳۵۱ متر، جنوبی‌ترین و قله الوند با ۳۵۸۰ متر ارتفاع، شمالی‌ترین قله در واحد ژئومورفیک ایران مرکزی است (جدول ۱۰).

#### ارتفاع برفمرز قلل مرتفع ایران مرکزی

برای برآورد ارتفاع برفمرز، ۱۰ قله در واحد ایران مرکزی انتخاب شد. پس از برآورد برفمرز به روش‌های مختلف، روشی که تفاوت زیادی با روش‌های دیگر داشت، کنار گذاشته شد. از روشهایی که ارتفاع برفمرز دامنه‌های نسار بالاتر از دامنه‌های نگار بود یا تفاوت

جدول ۱۰: ارتفاع برفمرز در قلل مرتفع ایران مرکزی به روش‌های مختلف و ارتفاع معرفی شده

| نام قله   | جهت      | شیب (درصد) | ۱-۱* | ۲-۱  | ۳-۱  | ۴-۱  | ۴-۱  | میانگین | ۵-۱  |
|-----------|----------|------------|------|------|------|------|------|---------|------|
| پلوار     | شمال شرق | ۳۸         | ۲۶۰۷ | ۲۵۴۳ | ۲۷۴۶ | ۲۶۴۹ | ۲۷۸۵ | ۲۹۱۰    | ۲۷۹۳ |
|           | جنوب غرب | ۴۲         | ۳۰۹۲ | ۳۳۴۰ | ۳۰۳۰ | ۳۰۹۵ | ۳۱۵۰ | ۳۰۹۵    | ۳۰۹۲ |
| شیرکوه    | شمال شرق | ۳۴         | ۲۷۹۶ | ۲۷۹۹ | ۳۲۵۰ | ۲۸۳۷ | ۲۹۰۴ | ۳۰۴۳    | ۲۹۰۴ |
|           | جنوب غرب | ۴۲         | ۳۰۷۵ | ۳۰۱۵ | ۳۰۳۱ | ۲۷۲۱ | ۳۱۱۰ | ۳۰۷۵    | ۳۰۷۵ |
| بل        | شمال شرق | ۳۵         | ۲۸۰۶ | ۲۷۸۶ | ۲۸۵۳ | ۲۸۰۰ | ۲۹۱۷ | ۳۰۲۹    | ۳۰۰۰ |
|           | جنوب غرب | ۴۰         | ۲۷۷۱ | ۲۹۴۹ | ۲۹۷۵ | ۲۹۴۱ | ۳۰۴۳ | ۳۰۸۳    | ۳۲۰۰ |
| الوند     | شمال شرق | ۲۸         | ۲۶۳۸ | ۲۵۲۵ | ۲۵۲۸ | ۲۶۵۸ | ۲۷۲۵ | ۲۵۸۰    | ۲۶۲۵ |
|           | جنوب غرب | ۳۵         | ۲۶۴۸ | ۲۴۱۴ | ۲۶۵۷ | ۳۰۶۲ | ۳۰۲۵ | ۲۹۳۴    | ۲۹۱۹ |
| گدار کج   | شمال شرق | ۳۷         | ۲۶۲۰ | ۲۷۴۰ | ۲۷۳۴ | ۲۷۳۰ | ۲۸۲۰ | ۲۸۷۲    | ۲۷۷۲ |
|           | جنوب غرب | ۴۴         | ۲۹۷۸ | ۳۱۲۱ | ۲۹۰۶ | ۳۱۲۰ | ۲۹۹۰ | ۳۲۰۰    | ۳۰۳۹ |
| شاهان کوه | شمال شرق | ۳۳         | ۲۵۸۰ | ۲۷۰۰ | ۲۷۹۵ | ۲۸۲۲ | ۲۲۲۰ | ۲۸۲۳    | ۲۸۲۳ |
|           | جنوب غرب | ۳۹         | ۲۶۳۵ | ۲۸۴۹ | ۲۹۷۸ | ۲۸۴۲ | ۲۹۵۰ | ۲۳۰۰    | ۲۹۴۲ |
| ولیجا     | شمال شرق | ۳۹         | ۲۷۰۰ | ۲۶۲۳ | ۲۶۸۷ | ۲۷۶۷ | ۲۸۹۸ | ۲۸۷۹    | ۲۷۷۹ |
|           | جنوب غرب | ۴۰         | ۲۶۳۰ | ۲۸۹۱ | ۲۹۶۱ | ۳۲۲۵ | ۳۰۵۳ | ۳۱۰۰    | ۳۰۴۸ |
| شاه       | شمال شرق | ۳۱         | ۲۸۰۰ | ۲۹۶۶ | ۲۷۲۳ | ۲۹۶۴ | ۲۹۸۹ | ۲۹۸۹    | ۲۸۶۹ |
|           | جنوب غرب | ۳۸         | ۲۹۲۳ | ۲۹۲۳ | ۲۹۴۵ | ۲۹۷۸ | ۳۱۳۳ | ۳۲۰۰    | ۳۰۵۰ |
| جوپار     | شمال شرق | ۳۵         | ۲۶۰۰ | ۲۷۶۹ | ۲۸۱۵ | ۲۹۸۶ | ۲۲۸۷ | ۲۹۳۰    | ۲۸۷۵ |
|           | جنوب غرب | ۴۲         | ۲۵۰۶ | ۲۹۶۱ | ۳۰۲۰ | ۳۰۰۰ | ۲۸۷۶ | ۳۰۰۳    | ۳۰۰۲ |
| کرکس      | شمال شرق | ۳۷         | ۲۸۰۰ | ۲۶۲۳ | ۲۷۸۰ | ۲۷۶۸ | ۲۸۹۰ | ۲۹۲۶    | ۲۷۹۷ |
|           | جنوب غرب | ۴۲         | ۲۶۴۰ | ۲۹۰۰ | ۲۹۶۷ | ۳۲۲۲ | ۳۰۶۱ | ۳۱۶۴    | ۳۰۸۲ |

\* (روش‌ها به ترتیب ارائه در مقاله شماره‌گذاری شده‌اند) مأخذ: محاسبات نگارندگان، ۱۳۹۷

و در دامنه‌های نسار با ۸ درصد تفاوت شیب، ۴۲۳ متر اختلاف برفمرز است که ۵۳ متر نسبت تغییرات بهازای افزایش یک درصد شیب برآورد شد. شیب منفی در رابطه خطی، ارتباط معکوس را نشان می‌دهد؛ به این معنی که با افزایش یک متغیر، متغیر دیگر کاهش می‌یابد و برعکس. با توجه به یافته‌ها در دامنه‌های نسار واحدهای ایران مرکزی، مقدار شیب و ارتفاع برفمرز رابطه معکوس دارند و با افزایش شیب، ارتفاع برفمرز کم می‌شود؛ اما در دامنه‌های نگار یک رابطه مستقیم بین این دو پارامتر وجود دارد و افزایش شیب سبب افزایش ارتفاع برفمرز می‌شود(جدول ۱۱).

رابطه خطی بین ارتفاع برفمرز و مقدار شیب برای بررسی اثرگذاری مقدار شیب و ارتفاع قلل مرتفع بر ارتفاع برفمرز، از روابط خطی استفاده شد. با توجه به یافته‌های نتایج به دست آمده در روش‌های مختلف، در واحد ایران مرکزی بیشترین ضریب همبستگی در دامنه‌های نسار و دامنه‌های نگار با اعمال روش رایت (رابطه ۲) برابر با  $0.68/0.77$  به دست آمد. در دامنه نگار، اختلاف مقدار شیب بین بالاترین و پایین‌ترین مقدار شیب دامنه، ۵ درصد و اختلاف برفمرز  $70.7$  متر است. نسبت تغییرات این دامنه بهازای افزایش یک درصد شیب، ۱۴۱ متر است

جدول ۱۱: رابطه خطی مقدار شبکه کوهستان و ارتفاع برفمرز

| ضریب همبستگی | رابطه خطی مقدار شبکه کوهستان و ارتفاع برفمرز | روش مورد قبول | دامنه |
|--------------|--|---------------|-------|
| ۰/۶۸         | $Y = -39.263x + 4124.8$                      | رابطه ۲       | نسار  |
| ۰/۷۷         | $Y = 82.303 X - 383.41$                      | رابطه ۲       | نگار  |

مأخذ: محاسبات نگارندگان، ۱۳۹۷

نگار در روش رایت (رابطه ۱) برابر با  $0/28$  برآورد شد. در این واحد اختلاف ارتفاع مرتفع‌ترین و کم‌ارتفاع‌ترین قله،  $1021$  متر است. تفاوت ارتفاع برفمرز در دامنه‌های نسار،  $441$  متر و در دامنه‌های نگار،  $586$  متر است (جدول ۱۲).

### رابطه خطی بین ارتفاع قله مسلط به سیرک و ارتفاع برفمرز

با توجه به ارتفاع قلل، رابطه خطی ارتفاع قلل و ارتفاع برفمرز برآورد شد. در واحد ایران مرکزی بیشترین ضریب همبستگی در دامنه‌های نسار در روش رایت (رابطه ۲) برابر با  $0/35$  و در دامنه‌های

جدول ۱۲: رابطه خطی ارتفاع قله و ارتفاع برفمرز

| ضریب همبستگی | رابطه خطی بین ارتفاع قله مسلط و ارتفاع برفمرز | روش مورد قبول | دامنه |
|--------------|---|---------------|-------|
| ۰/۳۱         | $Y = 0.2417X + 1732.9$                        | رابطه ۲       | نسار  |
| ۰/۲۸         | $Y = 0.3166X + 1517.5$                        | رابطه ۱       | نگار  |

مأخذ: محاسبات نگارندگان، ۱۳۹۷

نتایج معقول‌تری را در برآورد ارتفاع برفمرز و اختلاف ارتفاع برفمرز دائمی دامنه‌های شمال شرقی با جنوب غربی ارائه داد. در واحد ژئومورفیک ایران مرکزی به عنوان خشک‌ترین واحد کنونی که در طی کواترنری تحت تأثیر فرایندهای یخچالی بوده است، روش ارتفاع کفسیرک پورتر و روش نسبت پنجه به دیواره رایت، مناسب‌ترین روش‌ها برای برآورد ارتفاع برفمرز کواترنری معرفی شد. در این واحد ژئومورفیک، ارتفاع برفمرز برآورده بین  $2743$  متر تا  $3098$  متر متغیر بوده است ( $360$  متر اختلاف ارتفاع). ارتفاع برفمرز کواترنری این واحد  $2853$  متر است. از نظر جهت در این واحد ژئومورفیک، تفاوت ارتفاع برفمرز دامنه‌های نسار با نگار در حدود  $337$  متر بوده است.

**نتیجه**  
 ارتفاع برفمرز کواترنری ارتفاعات ایران مرکزی، هرچند به صورت پراکنده و زیرحوضه‌های کوچک، توسط محققان مختلف برآورد شده؛ ولی تاکنون به صورت منسجم ارتفاع برفمرز این واحد ژئومورفیک مورد ارزیابی قرار نگرفته است. برای برآورد ارتفاع برفمرز دائمی کواترنری در این مقاله، از روش‌های رایت، ارتفاع کفسیرک پورتر، نسبت پنجه به دیواره رایت و پورتر و نسبت‌های ارتفاعی در جهات مختلف جغرافیایی استفاده شد. ارتفاع برفمرز به روش رایت در بیشتر حوضه‌های آبریز ایران مرکزی، حدود  $200$  متر مرتفع‌تر از بقیه روش‌ها برآورد شد و از این روش برای برآورد ارتفاع برفمرز نهایی استفاده نشد. از بین روش‌های باقی‌مانده، روش نسبت پنجه به دیواره،

### منابع

- ابطحی، سیدمرتضی (۱۳۹۲). بررسی پالئوکلیمای حوضه آبخیز جاجرود به کمک شواهد یخچالی، کاوش‌های جغرافیایی مناطق بیابانی. سال اول. شماره ۱. صفحات ۲۰۱-۱۸۵.
- امیدوار، کمال؛ مهدی جعفری‌ندوشن (۱۳۹۶). اثر نوسان قطبی بر تغییرات دما و بارش فصول سرد سال در ایران مرکزی، مجله علوم جغرافیایی. شماره ۲۶. صفحات ۳۰-۱۹.
- انتظاری، علیرضا؛ ابوالقاسم امیراحمدی؛ امان محمد قرنجیک؛ علی جهانفر؛ علی‌اکبر شایان‌یگانه (۱۳۹۴). بررسی ژئومورفولوژیکی تحولات اقلیمی حوضه آبریز گرگان‌رود در کواترنر، فصلنامه کواترنری ایران (علمی-پژوهشی). دوره ۱. شماره ۱۸۰. صفحات ۱۸۰-۱۶۹.
- پاریزی، اسماعیل؛ محمدحسین رامشت؛ علیرضا تقیان (۱۳۹۲). شواهد یخچال‌های کواترنری پایانی در حوضه تنگوئیه سیرجان، پژوهش‌های ژئومورفولوژیکی کمی. سال ۲. شماره ۱۲۸. صفحات ۱۲۸-۱۱۱.
- جعفری‌گلگو، منصور؛ مجتبی یمانی؛ احمد عباس‌نژاد؛ سیدمحمد زمان‌زاده؛ سمية ذهاب ناظوری (۱۳۹۳). بازسازی برفمرزهای یخچال کواترنری در کوهستان بیدخوان کرمان، جغرافیا (فصلنامه علمی-پژوهشی و بین‌المللی انجمن جغرافیای ایران). سال ۱۲. شماره ۴۰. صفحات ۹۳-۱۰۷.
- جعفری، غلام‌حسن؛ مهدی فیض‌الله‌پور؛ زینب براتی (۱۳۹۴). بازسازی ارتفاع برفمرز کواترنری الوند همدان (با سه روش رایت، شیب-جهت، ضربی خمیدگی)، فصلنامه تحقیقات جغرافیایی. سال ۳۰. شماره ۴. صفحات ۱۵۳-۱۳۵.
- جعفری، غلام‌حسن؛ صیاد اصغری‌سراسکانروodi (۱۳۹۳). بررسی آثار یخچالی کواترنری زنجان‌رود، پژوهش‌های ژئومورفولوژی کمی. سال ۳. شماره ۲. صفحات ۶۱-۳۰.
- ارتفاع برفمرز برآورده شده المدرسی و رامشت (۱۳۸۶) در زیرحوضه سخوید (۳۱۰۰-۳۳۰۰ متر)، جعفری‌گلگو و همکاران (۱۳۹۳) و ذهاب ناظوری و همکاران (۱۳۹۵) در زیرحوضه بیدخوان کرمان (۳۱۶۶ متر) در دامنه‌های نگار و رامشت و کاظمی (۱۳۸۶) در اقلید (۲۹۶۰ متر)، معیری و همکاران (۱۳۸۷) در صفاشهر (۲۹۵۰ متر)، رامشت و همکاران (۱۳۹۰) در ماهان کرمان (۲۹۰۰ متر)، یمانی و همکاران (۱۳۸۶) در دامنه‌های شمال شرقی کرکس (۳۰۰۰ متر)، مهرشاهی و بقایی‌نیا (۱۳۹۱) در فخرآباد یزد (۲۹۰۰ متر)، سیف و ابطحی (۱۳۹۲) در حوضه آبریز دریاچه نمک (۲۸۰۰ متر) و پاریزی و همکاران (۱۳۹۲) در تنگوئیه سیرجان (۲۷۱۹ متر) در دامنه‌های نسار کوههای واحد ایران مرکزی، یافته‌های این تحقیق را مورد تأیید قرار می‌دهد. روابط خطی برآورده شده بین مقدار شیب و ارتفاع برفمرز، اثرگذاری شیب بر ارتفاع برفمرز را تأیید می‌کند؛ ولی آن را تنها عامل تأثیرگذار معرفی نمی‌کند. بیشترین ضربی همبستگی برآورده شده در دامنه نسار واحد ایران مرکزی (۰/۰۶۸) و در دامنه‌های نگار (۰/۰۷۷) است. با توجه به این مسئله می‌توان همه تفاوت ارتفاع برفمرز را فقط وابسته به مقدار شیب نسبت داد. از تأثیر ارتفاع قلل مسلط بر سیرک بر ارتفاع برفمرز نیز نمی‌توان چشم‌پوشی کرد. بیشترین تأثیری که ارتفاع قله بر ارتفاع برفمرز داشته، در دامنه نسار است؛ به طوری که ضربی همبستگی آن (۰/۰۳۱) به دست آمد و کمترین آن در دامنه نگار (۰/۰۲۸) برآورد شد. با این وجود ارتفاع برفمرز فقط متأثر از ارتفاع قله نیست.

- عساکره، حسین (۱۳۹۰). مبانی اقلیم‌شناسی آماری، زنجان. انتشارات دانشگاه زنجان.
- قربانی‌شورستانی، علی؛ عذرای خسروی؛ علی‌محمد نورمحمدی (۱۳۹۵). بررسی شواهد ژئومورفولوژیکی یخچال‌های کوه‌های شاه‌البرز- البرز غربی، فصلنامه کواترنری ایران (علمی- پژوهشی). سال ۲. شماره ۲. صفحات ۱۶۵-۱۶۵.
- رامشت، محمدحسین (۱۳۹۴). نقشه‌های ژئومورفولوژی، انتشارات سمت.
- رامشت، محمدحسین؛ محمدمهدی کاظمی (۱۳۸۶). آثار یخچالی در حوضه اقلید فارس، رشد آموزش جغرافیا. شماره ۷۹. صفحات ۱۱-۳.
- رامشت، محمدحسین؛ محمود لاجوردی؛ حسن لشکری؛ طبیه محمودی (۱۳۹۰). ردیابی آثار یخچال‌های طبیعی حوضه تیگرانی ماهان، مجله فضای جغرافیا و برنامه‌ریزی محیطی. سال ۲۲. شماره ۲. صفحات ۷۸-۵۹.
- سرور، جلیل‌الدین؛ نیما فردی‌مجتبی (۱۳۹۰). شواهد ژئومورفولوژیکی یخچالی پلئیستوسن در دامنه شمالی کوه خشچال (البرز غربی)، فصلنامه جغرافیایی سرزمین. سال ۸. شماره ۳۱. صفحات ۶۷-۵۱.
- سیف، عبدالله؛ محمدرضا ثروتی؛ محمد راهدان‌مفرد (۱۳۹۴). بازسازی برف‌مرزهای کواترنری پایانی در محدوده سایت ریگ، فصلنامه تحقیقات جغرافیایی. سال ۳۰. شماره ۱. صفحات ۲۰۸-۱۹۳.
- سیف، عبدالله؛ سیدمرتضی ابطحی (۱۳۹۲). بررسی تحولات اقلیمی حوضه دریاچه نمک در کواترنر پایانی، جغرافیا و برنامه‌ریزی. سال ۱۷. شماره ۴۶. صفحات ۱۱-۹۱.
- شریفی، محمد؛ کاظم طاهری‌نژاد؛ زهرا فرج‌بخش (۱۳۹۵). ارزیابی تغییرات اقلیمی بین زمان حال و پلئیستوسن و بازسازی شرایط اقلیمی گذشته با استفاده از شاخص‌های ژئومورفیک (مطالعه موردی: حوضه دشت‌ابراهیم‌آباد- یزد)، پژوهش‌های ژئومورفولوژی کمی، سال ۵. شماره ۱، صفحات ۶۲۸-۶۱۰.
- شمسی‌پور، علی‌اکبر؛ سجاد باقری سیدلشکری؛ مریم جعفری‌اقدم؛ جبار سلیمانی‌منش (۱۳۹۴). بازسازی برف‌مرزهای آخرین دوره یخچالی با شواهد دوره‌های یخچالی در زاگرس شمال غربی (مطالعه موردی: تاقدیس قلاچه)، جغرافیا و توسعه. شماره ۳۹. صفحات ۷۴-۶۱.
- عسکری، کامبیز نوروزپور شهر بیجاری (۱۳۹۵). شواهد ژئومورفولوژیکی یخچال‌های کوه‌های پلئیستوسن پایانی در کوه شاه‌البرز- البرز غربی، فصلنامه کواترنری ایران (علمی- پژوهشی). سال ۲. شماره ۲. صفحات ۱۳-۱۷.
- قهره‌ودی‌تالی، منیژه؛ محمدرضا ثروتی؛ رسول حسni قارنایی (۱۳۹۲). تحلیل ناپایداری‌های حاصل از نهشته‌های یخچالی در حوضه رود زاب کوچک، فصلنامه علمی- پژوهشی فضای جغرافیایی. سال ۱۳. شماره ۴۳. صفحات ۱۷-۱۱.
- قهره‌ودی‌تالی، منیژه؛ رسول حسni قارنایی (۱۳۹۴). شواهد یخچالی در مناطق کوهستانی مرز ایران، ترکیه، عراق (کوهستان بزیینا و دالامپر)، فصلنامه کواترنری ایران (علمی- پژوهشی). دوره ۱. شماره ۴. صفحات ۳۳۷-۳۲۳.
- قهره‌ودی‌تالی، منیژه؛ کاظم نصرتی؛ اسماعیل عبدالی (۱۳۹۴). تخمین بر فرمز در آخرین دوره یخچالی در حوضه دالاخانی، جغرافیا و برنامه‌ریزی محیطی. ۲۶(۲). صفحات ۳۳۷-۲۳۱.
- المدرسي، سيدعلی؛ محمدحسین رامشت (۱۳۸۶). آثار یخچالی در دره سخوید یزد، مجله فضای جغرافیایی. سال ۷. شماره ۱۹. صفحات ۱۰۷-۹۳.
- معیری، مسعود؛ محمدحسین رامشت؛ مسعود تقوای؛ محمدمهدی تقی‌زاده (۱۳۸۷). مواریت یخچالی در حوضه صفاشهر- استان فارس، مجله پژوهشی دانشگاه اصفهان علوم انسانی. جلد ۱. شماره ۲۲. سال ۴. صفحات ۱۳۰-۱۰۹.
- مهرشاهی، داریوش؛ علیرضا بقایی‌نیا (۱۳۹۱). بررسی تغییرات احتمالی دما و بارش کواترنری پایانی در دامنه‌های شمالی شیرکوه با استفاده از شواهد یخچالی (حوضه آبریز فخرآباد یزد)، جغرافیا فصلنامه علمی پژوهشی انجمن علمی جغرافیا. دوره جدید. سال ۱۰. شماره ۳۴. صفحات ۸۴-۶۵.

- Kleman, J & Stroeven, A. P (1997). Preglacial surface remnants and Quaternary glacial regimes in northwestern Sweden. *Geomorphology*, 19(1-2), 35-54.
- Mitchel, A (2005). The ESRI Guide to GIS analysis, Volume 2: spatial measurements and statistics. ESRI Guide to GIS analysis.
- Măndrescu, M., & Evans, I. S (2014). Cirque form and development in Romania: allometry and the buzzsaw hypothesis. *Geomorphology*, 208, 117-136.
- Napierski, J., Harbor, J., & Li, Y. (2007). Glacial geomorphology and geographic information systems. *Earth-Science Reviews*, 85(1-2), 1-22.
- Oskin, M., & Burbank, D. W. (2005). Alpine landscape evolution dominated by cirque retreat. *Geology*, 33(12), 933-936.
- Porter, S. C (1989). Some geological implications of average Quaternary glacial conditions. *Quaternary Research*, 32 (3), 245-261.
- Porter, S. C (2000). Snowline depression in the tropics during the Last Glaciation. *Quaternary science reviews*, 20(10), 1067-1091.
- Roy, A. J & Lachniet, M. S (2010). Late Quaternary glaciation and equilibrium-line altitudes of the Mayan Ice Cap, Guatemala, Central America. *Quaternary Research*, 74(1), 1-7.
- Sarıkaya, M. A., Ciner, A., & Zreda, M. (2011). Quaternary glaciations of Turkey. *Developments in quaternary science*, 15, 393-403.
- Sarıkaya, M. A., Zreda, M., & Çiner, A (2009). Glaciations and paleoclimate of Mount Erciyes, central Turkey, since the Last Glacial Maximum, inferred from  $^{36}\text{Cl}$  cosmogenic dating and glacier modeling. *Quaternary Science Reviews*, 28(23-24), 2326-2341.
- Serrano, E., González-Trueba, J. J., Pellitero, R., González-García, M., & Gómez-Lende, M (2013). Quaternary glacial evolution in the Central Cantabrian Mountains (northern Spain). *Geomorphology*, 196, 65-82.
- Spotila, J. A., Buscher, J. T., Meigs, A. J., & Reiners, P. W (2004). Long-term glacial erosion of active mountain belts: Example of the Chugach-St. Elias Range, Alaska. *Geology*, 32(6), 501-504.
- Yesilyurt, S., Akçar, N., Dogan, U., Yavuz, V., Ivy-Ochs, S., Vockenhuber, C., & Schlüchter, C. (2016, April). Extensive Quaternary glaciations in eastern Turkey. In EGU General Assembly Conference Abstracts (Vol. 18, P. 1014).
- Zheng, B., Xu, Q., & Shen, Y (2002). The relationship between climate change and Quaternary glacial cycles on the Qinghai-Tibetan Plateau: review and speculation. *Quaternary international*, 97, 93-101.
- یمانی، مجتبی؛ جمشید جباری عیوضی؛ ابوالقاسم گواری (۱۳۸۶). شواهد ژئومورفولوژیکی مرزهای یخچال در دامنه‌های کرکس، فصلنامه مدرس علوم انسانی برنامه‌ریزی و آمایش فضا. سال ۱۱. شماره ۷۰. صفحات ۲۰۷-۲۲۸.
- یمانی، مجتبی؛ ابراهیم مقیمی؛ قاسم عزیزی؛ کاوه باخویشی (۱۳۹۲). تعیین قلمروهای مورفوکلیماتیک هولوسن در بلندی‌های غرب استان کردستان، پژوهش‌های جغرافیای طبیعی. دانشگاه تهران. سال ۴۵. شماره ۴. صفحات ۱-۱۴.
- ملکی، امجد؛ ایرج جباری؛ هاشم حسینی (۱۳۹۷). بازسازی قلمروهای مورفو‌دینامیک براساس شواهد ژئومورفولوژی یخچالی و مجاور یخچالی (مطالعه موردی: کوه‌های چهل‌چشمه و سارال در استان کردستان)، فصلنامه کواترنری ایران. سال سوم. شماره ۱۱۷-۱۳۰. صفحات ۱۰-۱۱۷.
- شریفی‌پیچون، محمد؛ کاظم طاهری‌نژاد؛ فاطمه زارع (۱۳۹۶). شواهد ژئومورفولوژی آثار یخچالی در عصر پلئیستوسن (نمونه موردی: حوضه دشت ابراهیم‌آباد-بیزد)، فصلنامه کواترنری ایران. سال سوم. شماره ۹. صفحات ۱۵-۲۸.
- Barr, I. D., & Spagnolo, M (2015). Glacial cirques as palaeoenvironmental indicators: Their potential and limitations. *Earth-science reviews*, 151, 48-78.
- Brook, M. S., & Kirkbride, M. P (2018). Reconstruction and paleoclimatic significance of late Quaternary glaciers in the Tararua Range, North Island, New Zealand. *Quaternary International*, 470, 53-66.
- Dortch, J. M., Owen, L. A & Caffee, M. W. (2010). Quaternary glaciation in the Nubra and Shyok valley confluence, northernmost Ladakh, India. *Quaternary Research*, 74(1), 132-144.
- Evans, D. J., & Rea, B. R (2003). Surging glacier landsystem. In *Glacial landsystems*. Taylor and Francis.
- Evans, I. S., Hall, A. M., & Kleman, J. (2015). Glacial cirques and the relationship between equilibrium line altitudes and mountain range height: Comment. *Geology*, 43(6), e366-e366.
- Hughes, P. D., Woodward, J. C., & Gibbard, P. L (2006). Quaternary glacial history of the Mediterranean mountains. *Progress in physical geography*, 30(3), 334-364.

